

写像関数を用いた砂灘モデル上の流れの流速分布に関する研究

八戸高専 正員 田中 博通
 八戸高専 学生員 ○町屋 孝浩
 八戸高専 学生員 高橋水智賀佑

1. はじめに

著者等⁽¹⁾⁽²⁾ 可視化手法と画像処理を用いて砂灘モデル上の流れの特性値を求めてきた。これらの諸量を用いて砂灘モデル上の流れを解析的K求めた場合、必ず非対称砂灘の写像関数を求めることが重要である。本研究は、求めた循環値(Γ)を使って谷部で成長した渦による砂の巻き上げについて考察し、また非対称砂灘の写像関数を提案しその精度Kについて検討したものである。

2 砂の巻き上げ Kについて

砂の巻き上げは砂粒子との間にあら摩擦抵抗を無視すると、浮力(F_L)と揚力(F_b)との和が砂の重さ(F_g)より大きくなれば、発生するものと考えられる。

$$F_L + F_b = F_g \quad (1)$$

(1)式を粒径d Kについて解くと

$$d = \sqrt[3]{\frac{6}{\pi} \frac{\rho \bar{U} P}{(\omega_s - \omega)}} \quad (2)$$

砂の巻き上げは渦の外側の循環Kによって起ると考えると $X/(Dx/2) = 1.0$ を図-2の実験的K代入するとKよって $\Gamma = 1.89 \text{ cm}^3/\text{sec}$ を得る。今、水の密度 $P = 1.02 \times 10^{-3} \text{ g/cm}^3$ 、水の単位体積重量 $\omega = 1.0 \text{ g/cm}^3$ 、砂の単位体積重量 $\omega_s = 2.65 \text{ g/cm}^3$ として(2)式より d と \bar{U} の関係を求めると(3)式となる。

$$d = 0.131 \bar{U}^{1/3} \quad (3)$$

図-2は(3)式を示したものである。これより、流速が大きくなるにつれて巻き上げられた砂粒子の粒径の増加はゆるやかになるといえる。

今後、これらの関係を実験的に検証していきたい。

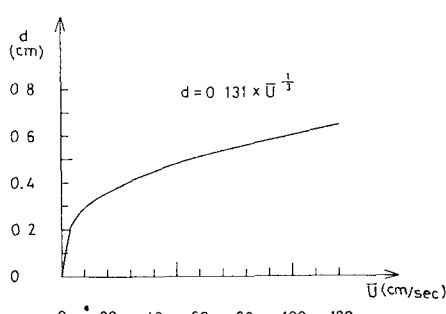


図-3 粒径dと平均流速 \bar{U} との関係

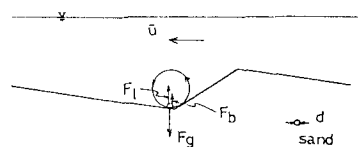


図-1 砂の巻き上げ

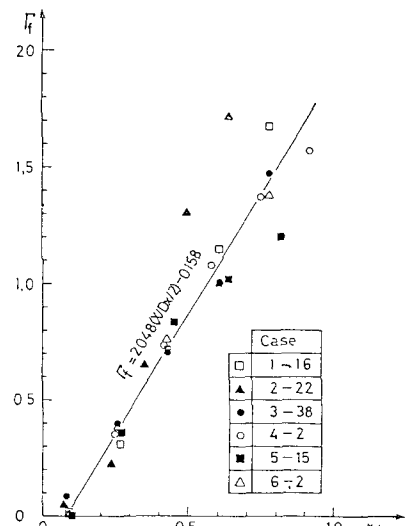


図-2 循環(Γ)の分布

3. 砂灘の写像関数について

従来、対称砂灘の写像関数は次式が用いられていて。³⁾

$$Z = \zeta + i \frac{\Delta}{2} e^{i\frac{\pi\zeta}{\Delta}} \quad (4)$$

非対称砂灘の写像関数として次式を定義する。

$$Z = (\zeta - \beta) + i \sum_{n=0}^{\infty} a_n e^{i k_n \zeta} + i \sum_{n=1}^{\infty} b_n e^{-i k_n \zeta} \quad (5)$$

$$\text{ここで } Z = x + iy, \zeta = \xi + i\eta$$

$$\sum a_n = \Delta/2, \sum b_n = \beta$$

座標系、図-4に示す通り水平にX軸、それと直角にY軸、砂灘底面に沿ってZ軸、Y軸と水平にX'軸とし、Z'軸のなす面をZ-P面、Z'軸のなす面をZ'-P面とする。

(5)式は、Cauchy-Riemannの関係を満足するため正則である。

砂灘底面上($\eta=0$)において次式となる。

$$x = \zeta - \sum_{n=0}^{\infty} a_n \sin k_n \zeta + \sum_{n=1}^{\infty} b_n \cos k_n \zeta \quad (6)$$

$$y = \sum_{n=0}^{\infty} a_n \cos k_n \zeta + \sum_{n=1}^{\infty} b_n \sin k_n \zeta \quad (7)$$

Z-P面における砂灘形状は次式となる。

$$y = \sum_{n=0}^{\infty} a'_n \cos k_n x + \sum_{n=1}^{\infty} b'_n \sin k_n x \quad (8)$$

図-5は(8)から求めたZ-P面における砂灘形状である。nは項数である。n=10での砂灘形状とほぼ一致している。

図-6は項数nと砂灘モデル形の計算値の標準偏差 σ との関係である。図-5、図-6から精度と計算時間考慮して今後、解析を行なう上でn=10として十分であるといえる。

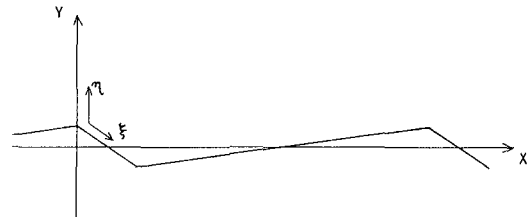


図-4 座標系

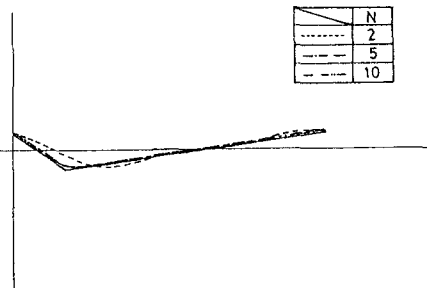


図-5 Z-P面における砂灘形状

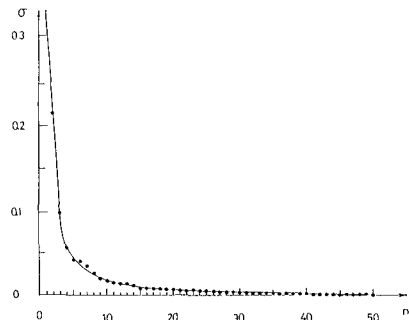


図-6 標準偏差 σ と項数nとの関係

4. おわりに

今回、砂の巻き上げと非対称砂灘の写像関数について考察した。実験値に基づいて解析的流れの場を解くことはより実際的なモデルであるといえる。その場合、非対称であり不規則な境界の回りの流れを解くため写像関数とFourier級数で表わして解析を行なうのは有効である。今後、流速分布などについて解析中であるのでその結果は既報時に報告する。

<参考文献>

- 1) 岩崎敏雄、田中博通；砂灘モデル上のクロストフローモードルによる流れの可視化、Vol.3, No.10, 1983, pp 253~258
- 2) T.Iwasaki and H.Tanaka ; On the Flow Visualization and Turbulent Measurement on the Ripple Models, Third International Symposium on Flow Visualization, 1983, pp 168~172
- 3) 木本正樹；波形底面上の半無限領域の写像関数、土木学会論文報告書、第269号、1978, pp 147~150